

二状態雑音の非線型系に与する影響

東大 理 比原 和夫^(*)

稲葉 豊

(*) 現在は
静岡大学 教養

不安定現象を示す非線型系が外部パラメーターの揺さぎによ
てどのように影響されるかについて、揺さぎが白色雑音でガ
ウス過程の場合には、伊藤或いは Stratonovich の方法で、
Fokker-Planck 方程式を導き、定常状態の確率分布を求め
ることができる。雑音の振幅を上げてゆくと、確率分布の形
が急に変わり、一種の相転移現象が起こることが知られてい
(1)
る。

揺さぎが白色雑音でない場合、即ち、揺さぎがある有限な相関
時間 τ_c を持つ場合、一般的な定常分布を求めることは
困難であるが、揺さぎが二状態雑音の場合には、揺さぎの任意の振
幅及び任意の相関時間に対して、定常分布を解析することは
(2)
できる。

先ず、次の様な非線型微分方程式を考えよう、

$$\dot{x}(t) = F(\alpha(t), x(t)). \quad (1)$$

ここで、 $F(\alpha, x)$ は α と x の任意の関数で、 $\alpha(t)$ は端上で
いす外部パラメータである。 $\alpha(t)$ は、

$$\alpha(t) = a \text{ or } b \quad (2)$$

の二つの値のみととるものとし、値 a, b ととる確率 $P_a(t)$,
 $P_b(t)$ は、次のよろな Markov 過程に従うものとする、

$$\begin{cases} \dot{P}_a(t) = -\frac{\gamma}{2} [P_a(t) - P_b(t)] \\ \dot{P}_b(t) = -\frac{\gamma}{2} [P_b(t) - P_a(t)] \end{cases} \quad (3)$$

この時、時刻 $t=0$ に、 $x(t)=x$, $\alpha(t)=a$ or b となる確率
 $P_a(x, t)$, $P_b(x, t)$ は、

$$\begin{cases} \frac{\partial}{\partial t} P_a(x, t) = -\frac{\partial}{\partial x} F(a, x) P_a(x, t) - \frac{\gamma}{2} [P_a(x, t) - P_b(x, t)] \\ \frac{\partial}{\partial t} P_b(x, t) = -\frac{\partial}{\partial x} F(b, x) P_b(x, t) - \frac{\gamma}{2} [P_b(x, t) - P_a(x, t)] \end{cases} \quad (4)$$

を満足す。定義から明らかなように、時刻 $t=0$ に $x(t)=x$ となる確率 $P(x, t)$ は

$$P(x, t) = P_a(x, t) + P_b(x, t) \quad (5)$$

より求められる。式 (4) は $P(x, t)$ を、

$$Q(x, t) \equiv P_a(x, t) - P_b(x, t) \quad (6)$$

に替する方程式の形に書き換えることができる。そして、自然な境界条件

$$\lim_{t \rightarrow -\infty} Q(x, t) = 0 \quad (7)$$

と仮定すれば、 $P(x, t)$ について閉じた方程式

$$\begin{aligned} \frac{\partial}{\partial t} P(x, t) &= - \frac{\partial}{\partial x} \tilde{f}(x) P(x, t) \\ &\quad + \frac{\partial}{\partial x} \tilde{g}(x) \int_{-\infty}^t dt' e^{-[\gamma + \frac{\partial}{\partial x} \tilde{f}(x)](t-t')} \\ &\quad \times \frac{\partial}{\partial x} \tilde{g}(x) P(x, t') \end{aligned} \quad (8)$$

が得られる。ここで、

$$\tilde{f}(x) = \frac{1}{2} \{ F(a, x) + F(b, x) \} \quad (9)$$

$$\tilde{g}(x) = \frac{1}{2} \{ F(a, x) - F(b, x) \}, \quad (10)$$

式(8)に一定分布 $P(x, t) = P_{st}(x)$ を代入すると、

$$0 = - \frac{\partial}{\partial x} \tilde{f}(x) P_{st}(x) + \frac{\partial}{\partial x} \tilde{g}(x) \frac{1}{\gamma + \frac{\partial}{\partial x} \tilde{f}(x)} \frac{\partial}{\partial x} \tilde{g}(x) P_{st}(x) \quad (11)$$

が得られる。 x が大きいところでは $P_{st}(x)$ 及びその微分が 0 になることと仮定すれば、 $\frac{\partial}{\partial x}$ を落としてこなして、

$$\tilde{f}(x) P_{st}(x) = \tilde{g}(x) \frac{1}{\gamma + \frac{\partial}{\partial x} \tilde{f}(x)} \frac{\partial}{\partial x} \tilde{g}(x) P_{st}(x) \quad (12)$$

となる。これは $P_{st}(x)$ に対する 1 階の常微分方程式

$$[\gamma + \frac{\partial}{\partial x} \tilde{f}(x)] \left(\frac{\tilde{f}(x)}{\tilde{g}(x)} \right) \cdot P_{st}(x) = \frac{\partial}{\partial x} \tilde{g}(x) P_{st}(x) \quad (13)$$

になる。この解は簡単に求められ、

$$P_{st}(x) = N \frac{\tilde{g}(x)}{[\tilde{g}(x)]^2 - [\tilde{f}(x)]^2} \times \exp \left[\gamma \int_{-\infty}^x dx' \frac{\tilde{f}(x')}{[\tilde{g}(x')]^2 - [\tilde{f}(x')]^2} \right] \quad (14)$$

となる。もっと便利な公式は、

$$P_{st}(x) = N \left\{ \frac{1}{F(a, x)} - \frac{1}{F(b, x)} \right\} \times \exp \left[-\frac{\gamma}{2} \int_{-\infty}^x dx' \left\{ \frac{1}{F(a, x')} + \frac{1}{F(b, x')} \right\} \right] \quad (15)$$

である。上の公式から明らかなように、 $F(a, x) = 0$ 或いは
 $F(b, x) = 0$ となる点は、 $P_{st}(x)$ の特異点になる。ていど。

これらを x_a, x_b と置く。即ち、 $F(a, x_a) = 0$ 、
 $F(b, x_b) = 0$ 。通常分布 $P_{st}(x)$ は、 $x = x_\alpha$ ($\alpha = a, b$) で
次のようになる；

(i) $\frac{\gamma}{2} \left[\frac{\partial F(\alpha, x_\alpha)}{\partial x} \right]^{-1} + 1 > 0$ の時、無限大に発散す
る。

(ii) $-1 < \frac{\gamma}{2} \left[\frac{\partial F(\alpha, x_\alpha)}{\partial x} \right]^{-1} + 1 < 0$ の時、 $P_{st}(x_\alpha)$
は 0 にならぬが、値は無限大である。

(iii) $\frac{\gamma}{2} \left[\frac{\partial F(\alpha, x_\alpha)}{\partial x} \right]^{-1} + 1 < -1$ の時、 $P_{st}(x_\alpha) = 0$
で、値も 0 となる。

x_α ($\alpha = a, b$) が安定な定常状態ならば、 $\frac{\partial F(\alpha, x_\alpha)}{\partial x} < 0$

であるから、上記の(i)～(iii)は、 γ の増大に対して
(つまり相関時間の減少に対して)、安定定常状態の確率が
減少することを意味する。

公式(15)より、定常分布 $P_{st}(x)$ の極値は、

$$\gamma = \frac{2}{[F(a, x)]^2 - [F(b, x)]^2} \times \left\{ -[F(a, x)]^2 \frac{\partial F}{\partial x}(b, x) + [F(b, x)]^2 \frac{\partial F}{\partial x}(a, x) \right\} \quad (16)$$

と解くことによつて得られる。

以下応用例を挙げる。

(I) Verhulst の人口模型 増殖率 $\alpha(t)$ が揺いでいる
人口模型

$$\dot{x}(t) = \alpha(t) x(t) - [x(t)]^2 \quad (17)$$

を考える。

$$\alpha(t) = \lambda + I(t), \quad (18)$$

$$I(t) = \Delta \text{ or } -\Delta \quad (19)$$

とし、揺ぎの相関関数を

$$\langle I(t) I(t') \rangle = \Delta^2 e^{-\delta|t-t'|} \quad (20)$$

とする。公式(14)或いは(15)を用いると、 x の定常分布は、

$$P_{st}(x) = N x^{\frac{y\lambda}{\Delta^2 - \lambda^2} - 1} |x + \Delta - \lambda|^{-\frac{y}{2(\Delta - \lambda)} - 1} \\ \times |x - \Delta - \lambda|^{\frac{y}{2(\Delta + \lambda)} - 1} \quad (21)$$

[$\lambda - \Delta \leq x \leq \lambda + \Delta$ に対して]

$$P_{st}(x) = 0 \quad [x < \lambda - \Delta \text{ 及び } x > \lambda + \Delta].$$

この確率分布は、 Δ と y の値によりて定性的に全く異なる振舞をする。[図1を参照]

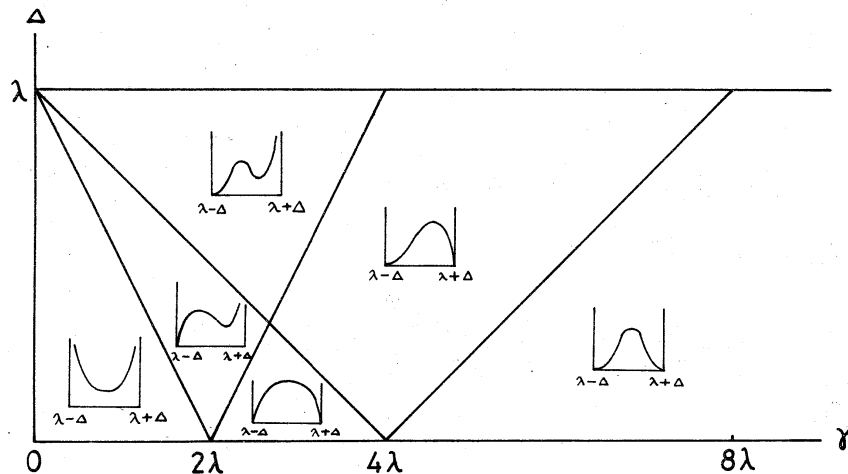


図1. 摂いていき Verhulst 模型に対する
定常確率分布 $P_{st}(x)$ の形

(II) がん細胞増殖の模型 ⁽⁴⁾ Lefever と Garay によると

提唱された増殖の模型は

$$\dot{x} = \alpha + (1 - \theta x)x - \beta x / (1 + x). \quad (22)$$

β はがん細胞の増殖能力を抑制する細胞の濃度を表す。

この外部パラメーターを二埠位雜音としよう。即ち、

$$\beta(t) = \beta_0 + I(t) \quad (23)$$

とし $I(t)$ の相關関数は式(20)の如く与えられるものとする。この系の定常分布は図2のようになる。

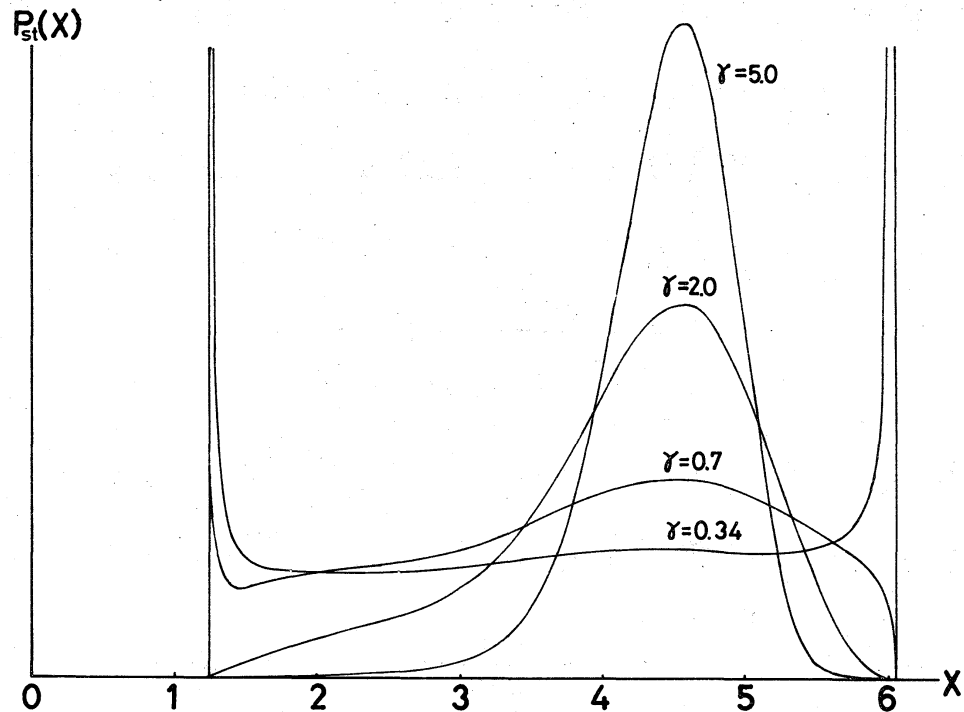


図2. 描いてい3 Le fever-Garay 模型；

$$\dot{x} = \alpha + (1 - \theta x)x - [\beta_0 + I(t)]x/(1+x).$$

$$\langle I(t)I(t') \rangle = \Delta^2 e^{-\gamma|t-t'|}, \quad \alpha = 2.4,$$

$$\beta = 5.95, \quad \Delta = 0.35.$$

(Ⅲ) 光と照射した化学反応 ⁽⁵⁾ Nitzen と Ross によると
提唱された模型は次の二つの方程式からなる。

$$\begin{cases} \dot{A} = -(k_1 + k_2)A + k_2 x \\ \dot{T} = \alpha A - \beta(T - T_e) + \lambda \dot{A} \end{cases} \quad (24)$$

最初の式は、光を吸収する化学物質 A の濃度に対するもので
あり、二番目は、温度の時間変化を表わし、光の吸収による
熱の発生の項 αA 、外界（温度 T_e ）への熱の放出の項
 $-\beta(T - T_e)$ 、及び化学反応による熱、発生（吸収）の項 $\lambda \dot{A}$
からなる。温度変化よりも化学反応の方が急速に進行する
ときは、 $\dot{A} \approx 0$ とかくことができる、

$$\dot{T} = \frac{\alpha A}{\frac{k_1}{k_2} + 1} - \beta(T - T_e) \quad (25)$$

を得る。ただし、 $k_1/k_2 = \chi e^{\Delta R/T}$ であるから、式(25)
は T について非線型である。適当に変数をスケールすると

$$\dot{x} = \frac{\alpha}{\chi e^{\Delta R/x} + 1} - (x - x_e) \quad (26)$$

という形になる。光を照射していない時は $\alpha \neq 0$ 、照射していない時は $\alpha = 0$ である。今、 $\alpha(t) = 1$ or 0 といふ二準位雑音と考え、その影響を調べてみると図 3 のような温度の確率分布が得られる。

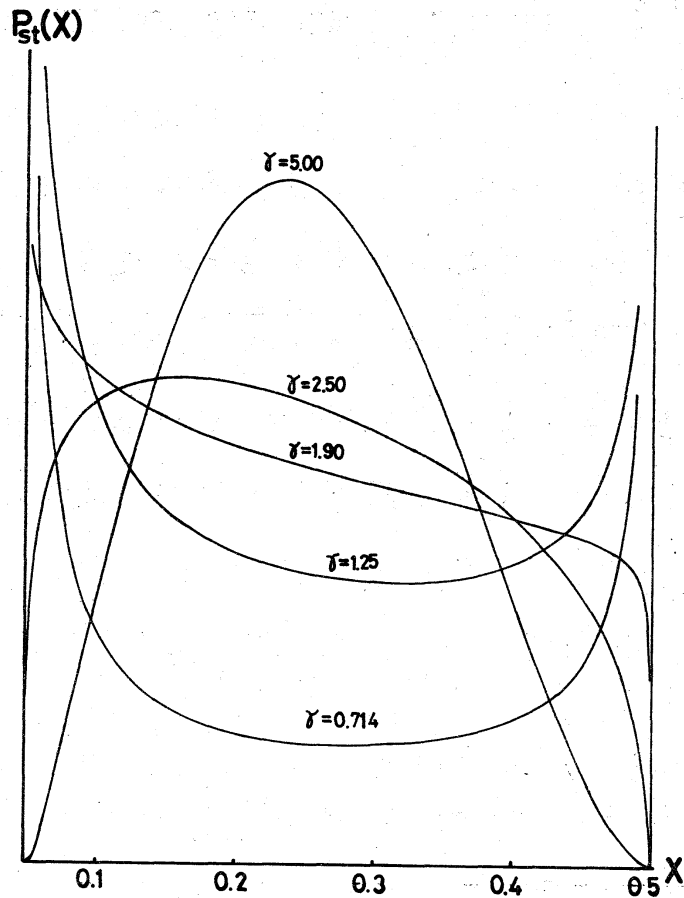


図3. 亂雑に光照射した化学反応の模型

$$\dot{x} = \alpha(t) / [x e^{\Delta r/x} + 1] - (x - x_e)$$

α に対する定常確率分布。 $\alpha(t) = 1$ or 0 と

相関時間は γ^{-1} 。 $x = 1.0$, $\Delta r = 0.1$,

$$x_e = 0.05.$$

以上、3つの例からも判るように、揺ぎの振幅 Δ^2 を一定にしても、相関時間を変えることにより、全く定性的に異なる

一定常確率分布を得る。一種の相転移とみなすこともできようか、系の変数 $x(t)$ について、 $\langle x(t) x(t') \rangle$ などにどうひきの異常が出るか、などについて未だ不明である。

一変数の系に対する運動が準位雑音の場合、白色でない効果を調べることができた限りであるが、これまでのまま、多準位雑音に拡張することは（詳細釣合の成立しない雑音を含むから！），及び、多変数で記述される系（振動系、混沌系）へ拡張することは不可能である。

引用文献

- (1) L. Arnold, W. Horsthemke and R. Lefever, Z. Physik B29 367 (1978).
- (2) K. Kitahara, W. Horsthemke and R. Lefever, Phys. Lett. to appear (1979).
- (3) 例えば、F. Schlögl, Z. Physik 253 147 (1972).
- (4) R.P. Garay and R. Lefever, J. Theor. Biol. 73 417 (1978).
- (5) A. Nitzan and J. Ross, J. Chem. Phys. 59 241 (1973).